

TECHNICKÁ UNIVERZITA V LIBERCI FAKULTA TEXTILNÁ

Obor 31 - 12 - 8

Technológia textilu a odevníctva

Zameranie: Textilné materiály

DISTRIBÚCIA PEVNOSTI ŠPECIÁLNYCH VLÁKIEN

Róbert Žitňan

KTM - 324

Vedúci práce: ing. Jindra Porkertová

Rozsah práce

Počet strán: 50

Počet obrázkov: 11

Počet tabuliek: 4

Počet grafov: 12

Technická univerzita v Liberci

Fakulta textilní

Katedra textilních materiálů

Školní rok: 1997/98

ZADÁNÍ DIPLOMOVÉ PRÁCE

pro Roberta ŽITNÁ
obor 31-12-8 technologie textilu a oděvnictví

Vedoucí katedry Vám ve smyslu zákona č. 172/1990 Sb.
o vysokých školách určuje tuto diplomovou práci:

Název tématu: Distribuce pevnosti speciálních organických
vláken

Zásady pro vypracování :

- 1) Provedte literární rešerši na téma organická speciální vlákna a jejich pevnost
- 2) Navrhněte a provedte experiment stanovení pevnosti speciálních organických vláken. Při experimentu analyzujte lomové plochy vláken
- 3) Stanovte model distribuce pevnosti speciálních organických vláken

KTM/TM
50 s.

Rozsah grafických prací:

Rozsah průvodní zprávy: 45 - 50 stran

Seznam odborné literatury:

Jambrich, M. a kol.: Fyzika vlakien, ALFA Bratislava, 1987

Morton, W.E. a kol: Physical Properties of Textile Fibres
Textile Institute, Manchester, 1993

Vedoucí diplomové práce: Ing.Jindra Porkertová

Konzultant:

Zadání diplomové práce: 31.10.1995

Termín odevzdání diplomové práce: 24.5.1996

Druhý termín odevzdání: 9.1.1998



Prof.Ing.Jiří Militký, CSc.,
Vedoucí katedry

Prof.Ing.Jiří Militký, CSc.,
Děkan

V Liberci, dne 31.10.1997

OBSAH:

1. Úvod	6.
2. Špeciálne vlákna.....	7.
2.1. Aramidové vlákna.....	7.
2.1.1. Štruktúra vlákien z aromatických polymérov a ich vlastnosti.....	8.
2.1.2. Použitie aramidových vlákien.....	14.
2.2. Polyetylénové vysokopevné vlákna - polyolefíny.....	16.
2.2.1. Vlastnosti vysokopevných polyetylénových vlákien.....	17.
2.2.2. Použitie vysokopevných polyetylénových vlákien.....	18.
2.3. Pevnosť špeciálnych vlákien.....	18.
2.4. Mikromechanika špeciálnych vlákien.....	20.
2.5. Charakter lomov a ich členenie.....	21.
2.6. Teoretická pevnosť v tahu.....	23.
2.7. Štatistický charakter pevnosti.....	23.
2.8. Weibullovo rozdelenie.....	25.
2.9. Model distribúcie pevnosti.....	28.
3. Experimentálna časť.....	31.
3.1. Elektronický prístroj na skúšanie pevnosti elementárnych vlákien typ FM - 27.....	31.
3.1.1. Určenie a rozsah použitia prístroja.....	31.
3.1.2. Funkčný princíp.	31.
3.1.3. Technické údaje.....	32.
3.2. Postup prípravy vzorku pre meranie.....	33.
3.3. Postup pri trhaniu vlákien.....	33.
4. Výsledky a diskusia.....	35.
5. Analýza lomových plôch.....	42.
6. Záver.....	58.

1. Úvod.

Použitie polymérnych materiálov v praxi vyžaduje znalosť ich fyzikálnych a hlavne mechanických vlastností v širokom rozmedzí vonkajších podmienok. Pretože mechanické chovanie je ovplyvnené štruktúrou, dá sa jeho štúdiom získať tiež radu údajov o fyzikálnej štruktúre polymérov. Všeobecne je mechanické chovanie charakterizované zmenou tvaru materiálu pôsobením vonkajších síl až do deštrukcie. Zahrnuté je teda ako deformačné, tak pevnostné chovanie. K poznaniu vzťahov medzi štruktúrou a deformačným chovaním je nutné poznať tiež podmienky vzniku polyméru, pretože tie určujú vzniknutú chemickú a fyzikálnu štruktúru. Konvenčne je možné hľadať vzťah medzi mechanickými vlastnosťami a submolekulárnu štruktúrou, molekulárnu štruktúrou a nadmolekulárnu štruktúrou. Keď že samotné pevnostné chovanie je citlivé predovšetkým na nehomogenitu, deformačné chovanie závisí na všetkých troch štrukturových úrovniach.

Najcharakteristickejším prejavom deformačného chovania polymérov je ich veľká závislosť na teplote, rýchlosťi pôsobiacich síl a čase, čím sa tieto materiály výrazne odlišujú od chovania kovov. Tento viskoelastický prejav priamo súvisí s štruktúrou polymérnych reťazcov, ktoré sa pôsobením vonkajších síl preskupujú do nových rovnovážnych polôh.

Laboratórne štúdium deformačného chovania je založené na meraní malých vzorkou. K tomu, aby výsledky bolo možno štruktúrne interpretovať a tiež priamo využiť v praxi je nutné nájsť deformačné charakteristiky , tzv. materiálové funkcie , ktoré nezávisia na veľkosti vzorku a typu experimentu. Zistené materiálové funkcie závisia len na štruktúre polyméru a vonkajších parametroch v čase , teplote, tlaku atď.

V tejto diplomovej práci sa v prvej časti teoreticky rozobral organické špeciálne vlákna z aromatických polymérov a polyolefinov. V druhej časti sa previedol experiment stanovení pevnosti týchto vlákien. V tretej časti sa stanovil model distribúcie pevnosti týchto vlákien a analyzovali sa ich lomové plochy.

2. ŠPECIÁLNE VLÁKNA.

2.1. ARAMIDOVÉ VLÁKNA.

História výroby aramidových vlákien úzko súvisí s prudkým rozvojom kompozitných materiálov v posledných desaťročiach. Niektoré náročné aplikácie kompozitných materiálov totiž vyžadovali vhodný materiál k ich výrobe. Aramidové vlákna s vysokou pevnosťou a vysokým modulom svojimi mimoriadnymi vlastnosťami tieto požiadavky splňali a zaznamenali rozvoj rady priemyselných odvetví.

Prvým reprezentantom aramidových vlákien vyrábaných z aromatického polyamidu sa stalo vlákno Nomex firmy Du Pont. Táto firma v roku 1954 zahájila výskumne práce, ktoré viedli k vývoju tohto vlákna a o 13 rokov neskôr, t.j. v roku 1967 bola zahájená priemyselná výroba tohto vlákna a fólie z neho. I keď Nomex je zo svojimi mechanickými vlastnosťami porovnatelný s vláknami PES, či vláknami PAD 6, preukázal porovnaní s nimi vynikajúcu odolnosť proti dlhodobému pôsobeniu teplôt.

Základný výskum smerujúci k aramidovým vláknam s vysokou pevnosťou a vysokým modulom bol u firmy zahájený na začiatku 60-tých rokov a vyústil vo vlákno pripravené z polyparafenyléntereftalamidu (PPPTA) - v súčasnej dobe známe pod obchodným názvom Kevlar. V roku 1970 bol vyvinutý ekonomický prijateľný spôsob priemyselného zvlákňovania PPPTA a o rok neskôr boli k dispozícii prvé množstva vlákien z poľoprevádzkovej jednotky firmy Du Pont pod označením Fiber B. K roku 1973 sa vzťahuje zavedenie aramidových vlákien do pneumatík a v roku 1973 boli zavedené obchodné názvy Kevlar a Kevlar 49 pre vlákna z PPPTA firmy Du Pont, miesto do vtedy používaných označení Fiber B a PRD 49. [1]

V roku 1974 sa vyskytli prvé informácie o vývoji sovietskeho aramidového vlákna s vysokou pevnosťou a vysokým modulom označením SOM. V tom istom roku boli zahájené práce na vývoji aramidového vlákna s vysokou pevnosťou v Japonsku a to firmou Teijin. V roku 1982 boli v Európe

publikované prvé údaje o vlastnostiach tohto vlákna, ktoré bolo označené HM 50. O štyri roky neskôr bola publikovaná rozsiahla informácia , ktorá zdôrazňuje rozdiely medzi aramidovým vláknom firmy Teijin HM 50 (obchodný názov Technora) a Kevlar firmy Du Pont , či Twaronom firmy Enka, ktorá vyvíjala aramidové vlákna od roku 1972 a dlhší čas viedla spor s firmou Du Pont o patentové práva na výrobu aramidových vlákien.

V súčasnej dobe je najväčším výrobcom aramidových vlákien s vysokou pevnosťou firma Du Pont. [1]

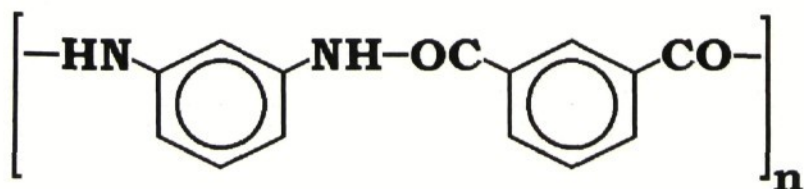
2.1.1. ŠTRUKTÚRA VLÁKIEN Z AROMATICKÝCH POLYMÉROV A ICH VLASTNOSTI.

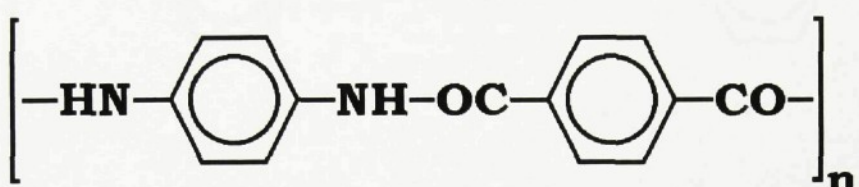
Vlákna z aromatických polymérov s ich vysokými pevnosťami , modulmi pružnosti, termostabilitou, zníženou horľavosťou, dobrou chemickou odolnosťou a nízkymi deformačnými vlastnosťami sa podobajú anorganickým technickým vláknam ako sú napríklad sklenené, grafitové alebo ocelové vlákna, pričom si zachovávajú dobré vlastnosti organických vlákien , ako je nízka hustota, dobrá spracovateľnosť, odolnosť proti únave a odere. Tieto vlastnosti vlákien sú podmienené ich výrobou , relatívnu molekulovou hmotnosťou a vysokou organizovanosťou reťazcov do širokých lamelárnych štruktúr , ktoré vytvárajú individualizované fibrilárne usporiadanie s vysokou kryštalitou a orientáciou.

Podľa molekulovej štruktúry môžeme vlákna z aromatických polymérov rozdeliť do nasledujúcich skupín:

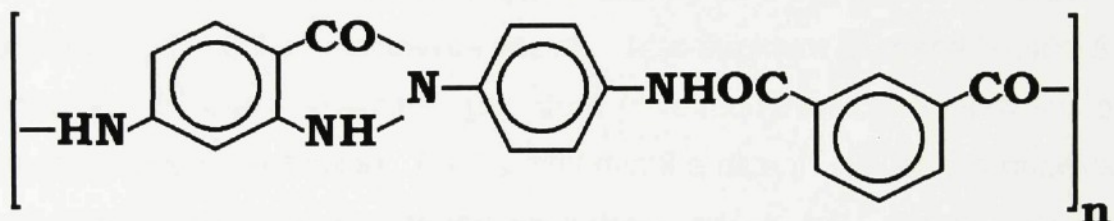
1) Vlákna z aromatických polymérov a ich kopolymérov

Nomex

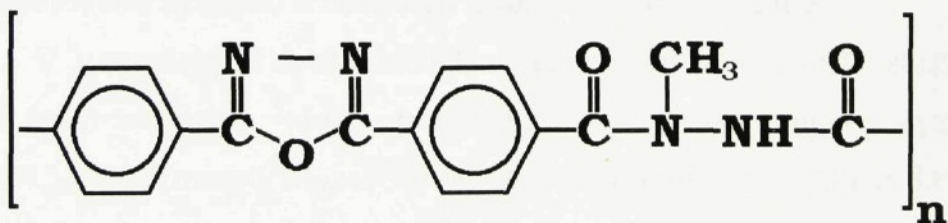


Kevlar

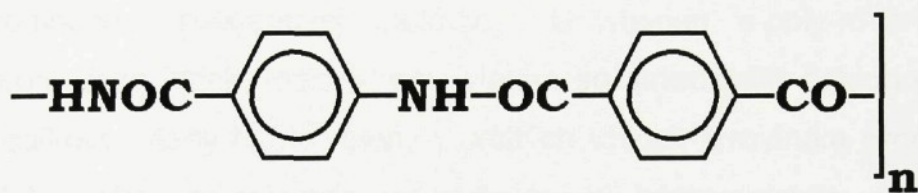
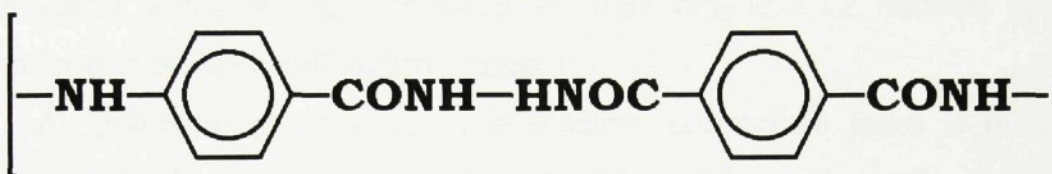
2) Vlákna z heterocyklických polymérov s obsahom aromatických polyamidov. Zaujímavým predstaviteľom je polymér s chynazolínovou bázou. Túto skupinu zastupuje vlákno ATF 2 000 s amorfou štruktúrou.



3) Vlákna z heterocyklických polymérov . Vhodný typ vlákna s dobrým vlastnosťami je založený na príprave z monoestru kyseliny tereftalovej, dimethyletereftalátu a hydrazínu.



4) Vlákna z ďalších typov polymérov na baze polyamidhydrazidov.



Aromatické polyméry majú určité odlišnosti od klasických vláknootvorných polymérov. Predovšetkým bod tavenia je v oblasti ich termickej degradácie. Ich konformačná štruktúra v roztoku pri mezomorfnom usporiadaniu reťazcov je paličková pri vzniku vodíkových väzieb. Táto štruktúra je charakteristická pre polyméry s tuhými reťazcami, pre ktoré je termodynamická rovnováha daná geometrickou anizotropiou. Pri zvlákňovaní a dĺžení vláken z aromatických polymérov neprebieha proces termickej dezorientácie tak, ako pri polyméroch s ohybnými reťazcami. [1]

Najrozšírenejšou produkciou vláken z aromatických polymérov sú vlákna na báze polyamidov - ARAMIDY. Štruktúra a vlastnosti polyamidov sú vo všeobecnosti určené polárnymi účinkami vodíkových väzieb amidových skupín. Vysoká vibračná energia amidových skupín dáva planárnu fixáciu amidového systému a čiastočný charakter dvojitej väzby.

V aromatických polyamidoch sú okrem amidových skupín planárne aromatické jadrá, ktoré pravdepodobne tvoria kapilárny systém do určitej miery stabilizovaný mezomernou energiou. Interakčná sila vodíkovej väzby sa podstatne znižuje so vzdialenosťou skupín vodíkových väzieb. V alifatických polyamidoch vzdialenosť medzi atómmi kyslíka a dusíka je 0,293 nm. Ak predpokladáme koplanárne usporiadanie amidových skupín a aromatických jadier vidíme, že existuje vysoká sterická zábrana vodíkových atómov v ortho- a meta- polohe aromatických jadier. Táto zábrana zväčšuje vzdialenosť

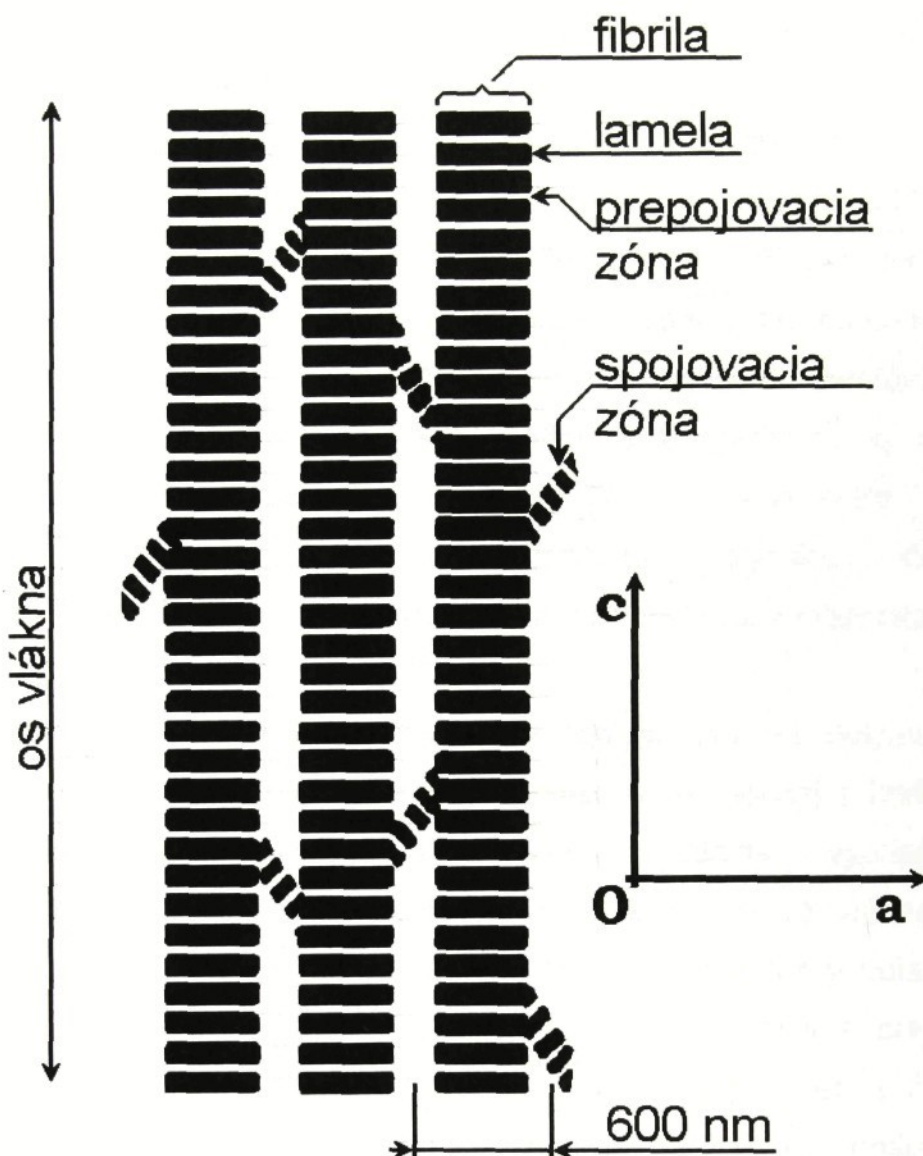
dusíkových a kyslíkových atómov amidových skupín susedných polymérnych reťazcov, ktorá je v tejto formácii asi 0,67 nm, kde už nebude vystupovať polárna interakcia vodíkových väzieb. [1]

Ak prijmeme inú koncepciu a otočíme aromatické jadrá o 90°, zistíme beznapäťové usporiadanie susediacich amidových reťazcov s plným uplatnením vodíkových väzieb. Tento model usporiadania bol dokázaný pomocou röngenovej metódy. U vlákien s poly-m-fenylénizoftalamidu aromatické jadrá ležia v osi vlákna so striedavým odklonom 10 až 15° a vodíkové väzby tvoria roviny v určitých uhloch k rovinám aromatických jadier. Vplyv celkovej symetrie je podmienený homologickým radom oligomérov, pričom v systeme meta- a para- fenylénov je u poly-p-fenylentereftalamide lepšia. Toto usporiadanie sa prejavuje aj v bode topenia.

Táto rozdielna symetria sa prejavuje aj v pevnostiach, moduloch pružnosti a termostabilité. Môžeme preto povedať, že čím je symetria molekúl vyššia, tým sú vyššie aj termotechnické a mechanické vlastnosti. Vysoká chemická a stereochemická symetria vo všeobecnosti je podmienkou, aby nastala tvorba p väzieb. Termofyzikálna úroveň materiálu striktne závisí od pohyblivosti molekúl, respektíve ich segmentov so stúpajúcou teplotou.

V aromatických polyamidoch sú vrstvy vzdialenejšie jedna od druhej, ale toto sa kompenzuje zosietením vodíkových väzieb. Vysoká termostabilita a ohňovzdornosť sa dosahuje v syntetických polyméroch a zosietenou formáciou kov - iónchelát. [1]

Termomechanické a mechanické vlastnosti sú dané nielen molekulou ale aj nadmolekulou a morfologickou štruktúrou. Vysoká úroveň termomechanických vlastností je aj v dôsledku vysokej teploty prechodu druhého stupňa nekryštalických a vyššie bode topenia kryštalických oblastí. Pevnosť a modul pružnosti závisia od vysokej orientácie celého systému. To sa dosahuje tým, že už pri zvlákňovaní z anizotropného roztoku mezomorfného usporiadania makromolekúl najprv prebieha orientácia a potom kryštalizácia.



Obr. 1.: Lamelárne usporiadanie morfologickej štruktúry vlákien z aromatických polymérov. [1]

Stupeň orientácie pre kryštalické oblasti vyjadrený Hermansovým faktorom vyjadrený z rontgenového merania u niektorých vlákien z aromatických polyamidov je $f_k \approx 1,0$. Takisto orientačný faktor vyjadrený z rýchlosťi zvuku $f_a \approx 1$, ktorý vyjadruje priemernú celkovú orientáciu. U klasických komerčných typoch vlákien, napr. PES, POP, orientácia kryštalických oblastí je podstatne vyššia, ako je priemerná orientácia. Vysoká orientácia vlákien z aromatických polymérov naznačuje, že ide o usporiadanie reťazcov vo fibrilách s napriamenou formou. Fibrily sú tvorené lamelami, v ktorých reťazce sú

usporiadane tak, že umožňujú kontinuitu v usporiadani vo fibrile a predstavujú systém blízky úplnej trojrozmernej periodickosti. Na obrázku č. 1 je uvedený model morfologickej štruktúry aramidov, ktorý je charakterizovaný svojou fibrilárnou štruktúrou tvorenou lamelami. Šírka fibrily je približne 600 nm a veľkosť spojovacej časti asi 30 až 60 nm, čo bolo dokázané malouhlovým rozptylom rontgenového žiarenia a mikroskopickým sledovaním po chemickom naleptávaní. Spojovacie zóny medzi fibrilami majú tiež vysokú orientáciu a ich vzdialenosť meraná na základe šírky píku 001 meridianovej reflexie rontgenového žiarenia je asi 80 nm. Rozdiel v štruktúre vlákien z aromatických polymérov v porovnaní s vláknami z polymérov, ktoré sú tvorené ohybnými reťazcami, môžeme vidieť aj na elektronovomikroskopickom obraze(REM). [1]

Ak pripúšťame, že vlákna z aromatických polyamidov sú polymorfné a vysoko orientované, nie je tak rozhodujúci pomer nekryštalickej a kryštalickej oblasti, ale skôr korelácia distribúcie orientácie vypramených makromolekulových retiazcov a kryštalitov s osou c a a vo vlákne. Toto pravidelné usporiadanie vyžaduje, aby prevažná časť kryštalitov bola svoju osou c orientovaná rovnobežne s osou vlákna, čo sa pozitívne prejaví na pevnostiach a module pružnosti. Na získanie vysokých pevností a modulov pružnosti z aromatických polyamidov je potrebná podstatne menšia dĺžka reťazca ako pri klasických typoch polymérov. Pri vláknach, získaných zo zriedených roztokov vysokomolekulového polyetylénu, boli namerané najvyššie pevnosti. Vysoké pevnosti sa získali v dôsledku vzniku fibrilárnej štruktúry s vypramenými reťazcami vo vlákne s nekoľkonásobne dlhšími reťazcami ako pri aromatických polyamidov. Novú štruktúru bolo možné získať pri polyetyléne len v dôsledku vysokej molekulovej hmotnosti rozsiahlého prepojenia retiazcov v gélu, podobne ako pri aromatických polyamidoch v roztoku s mezomorfnou anizotropnou štruktúrou. Tuhosť a ohybnosť retiazcov polymérov je rozhodujúca pri tvorbe novej štruktúry. Tuhosť retiazcov sa zvyčajne prejaví aj geometrickou asymetriou, ktorú môžeme vyjadriť ako strednú kvadratickú dĺžku rozvinutia reťazca v roztoku. Pri aromatických

polyamidoch je táto rádovo 40 nm a pri polyetyléne asi 0,58 nm, ktorá je typická pre konformáciu paličkovitú a kíbovito zvinutú.

Okrem vysokej pevnosti aramidových vlákien majú tieto vlákna výbornú tepelnú odolnosť a chemickú stálosť.

Kevlarové vlákna nie sú ovplyvňované dlhodobým vystavením extrémnym teplotám v rozmedzí - 40 až + 220°C. Pri nízkych teplotách dochádza k ľahkému zvýšeniu ťažnosti a malému zníženiu predĺženia. Pri vysokých teplotách dochádza k opačnému efektu. Vlákno sa netaví, ale uhoľnatie, na 425 °C dochádza k destrukcii.

Kevlar je odolný voči bežným rozpúšťadlám, olejom, tukom a vode. Odolnosť pri 21°C voči kyselinám a zásadám je tiež vynikajúca. Pri dlhodobom pôsobení koncentrovaných kyselín a zásad (nad 24 hodín a 10 %) dochádza k závažnému ovplyvneniu pevnosti. Hlavnou výnimkou je kyselina dusičná , ktorej 1 % -ný roztok spôsobí 18 %-ný úbytok ťažnosti po 100 hodinách pri 21 °C. Nevýhodou Kevlaru je, že dochádza k degradácii pôsobením ultrafialového žiarenia (silné slnečné žiarenie). [1][5][10]

2.1.2. POUŽITIE ARAMIDOVÝCH VLÁKNIEN.

Aramidové vlákna sú určené pre aplikácie, kde sa požaduje vysoká pevnosť pri nízkej hmotnosti, odolnosť voči korózii, vysokým teplotám a chemikáliám. Hlavnou oblastou použitia sú najmä kompozitné materiály pre vysokonáročné konštrukčné diely pre leteckú, vodnú a pozemnú dopravu, tiež pre niektoré oblasti strojárenstva.

Ďalšou rozšírenou aplikáciou aramidových vlákien sú vystužujúce pásy pre radiálne ťažko namáhané pneumatiky u nákladných automobilov a lietadiel .

Pre svoju vysokú pevnosť, rozmerovú stálosť , nízku ťažnosť a dobrú ohybnosť nachádzajú svoje uplatnenie v mnohých oblastiach gumárenského priemyslu , napríklad u dopravníkových pásov a rozvodných remeňov.

Ďalšou oblastou výlučne aramidových vlákien je výroba povrazov a lán, zdvíhacích lán u žeriavov a helikoptér. Kvôli slabej odolnosti voči

ultrafialovému žiareniu by mali byť laná z týchto vlákien chránená ochranným pláštom.

V textilnom priemysle sa aramidové vlákna používajú ako náhradný materiál za azbest u ochranných odevov a iných ochranných prostriedkov, ale i pre poťahové a dekoračné textílie vo verejných budovách a dopravných prostriedkoch.

Okrem týchto oblastí použitia aramidových vlákien sa tieto vlákna používajú i na vystužovanie betónu, pre výrobu nepriestrelných ochranných viest a ochranných prílb, alebo ako filtračné vložky a tesniace materiály. [5][10]

Triedy a použitie vlákna KEVLAR 29:

Typ	Použitie
959	rybárske siete
960	laná a kably, so špeciálnou povrchovou úpravou pre zvýšenie odolnosti proti oderu
961	laná a kably, so štandardnou povrchovou úpravou
962	laná a kably, bez povrchovej úpravy
963	zbrojárske aplikácie
964	laná a kably, tvrdené vlákna a ostatné aplikácie tkania a pletenia
971	zápalné kabely
972	zosolenie produktov
973	sekanie, rezanie
974	aplikácie brániace pretiahnutie
977	pumpy
980	priemyselné aplikácie vinutia vláknitej výstuže
984	certifikované inžinierske produkty pre kozmický priemysel
985	pásky a remene

Nomex je registrovaná známka pre jedno z aramidových vlákien firmy Du Pont, ktoré sa vyznačuje odolnosťou proti vysokej teplote, má výbornú teplotnú

stabilitu a dobrú odolnosť proti širokému spektru chemických a priemyselných rozpúšťadiel.

Vlákna Nomex vykazujú vynikajúce vlastnosti pri rôznych teplotných podmienkach a v rôznych koróznych atmosférach, čo je predurčuje pre použitie najskôr ako tvrdená vlákna, elektrická izolácia, filtry horkého plynu, kryty lisov, ochranné oblečenie, pogumované pásy, hadice. [5][10]

Triedy a použitie NOMEXU:

Typ	Použitie
430	štandardná lesklá priadza pre použitie pri vysokých teplotách
432	obdobné ako typ 430, ale zafarbené na „olivovú zelen“
433	obdobné ako typ 430, ale zafarbené na „šalvejovú zelen“

2.2. POLYETYLÉNOVÉ VYSOKOPEVNÉ VLÁKNA - POLYOLEFÍNY.

Súčasné zdokonalenie mechanických vlastností človekom vyrobených vlákien vyústilo v komerčné využitie modifikovaných polyetylénových vlákien. Tieto vlákna sú vyrobené z polyetylénu veľmi vysokou molekulovou hmotnosťou s pomocou gelového zvlákňovania, kde veľmi dlhé molekuly sa rozpustia v rozpúšťadle a pretlačia sa cez zvlákňovacie trysky. Spriadací roztok má koncentráciu 5 - 10 % a teplotu 150 °C. Ochladením na 130 °C vzniká gel, ktorý sa vytlačuje do vodného kúpeľa. Dĺženie sa prevádzka za tepla pri 120 °C, kedy sa tiež oddelí rozpúšťadlo. V roztoku sa dlhé molekuly rozpletú a zostanú tak po vychladnutiu vlákien. Potom sa vlákno usuší a tým je dosiahnutá veľmi vysoká makromolekulárna orientácia dlhých rozpletených molekúl. Výsledné vlákno vysokopevného polyetylénu má vysoký stupeň orientácie makromolekulárnych reťazcov na os vlákna a vysoký stupeň kryštalizácie, čo dáva vláknu vynikajúce mechanické vlastnosti.

Vysokopevné polyetylény sa stávajú priemyselne dostupné od firmy DSM (Holandsko) pod obchodným názvom DYNEEMA a od firmy ALLIED - SIGNAL Inc. (USA) pod obchodným názvom SPECTRA . U Dyneemy je molekulová hmotnosť základného polyméru $M_w = 10^6$ a rozpúšťa sa v dekalinu. [5][10]

2.2.1. VLASTNOSTI VYSOKOPEVNÝCH POLYETYLÉNOVÝCH VLÁKNIEN

Čo sa týka pevnosti tahu a počiatočného modulu, vysokopevné polyetylénové vlákna majú pevnosť blížiacu sa k aramidovým vláknam (Kevlar, Nomex). Vysokopevné polyetylénové vlákna majú hustotu o 30 % nižšiu ako vlákna aramidové a preto niektoré mechanické vlastnosti sú lepšie ako rovnaké vlastnosti aramidových vlákiem.

Vysokopevné polyetylénové vlákna majú vynikajúcu chemickú, oderovú odolnosť a tiež nízku absorpciu vlhkosti a dobrú odolnosť proti ultrafialovému žiareniu a proti degradácii na svetle.

Avšak existuje nevýhoda, že majú nízky bod topenia (150 °C) a vykazujú veľkú stratu pevností už okolo 130 °C, preto ich najvyššia použiteľná teplota je do 90 °C. Majú nízku pevnosť v tlaku 0,07 GPa a vykazujú vysokú trvalú deformáciu.

Vysokopevné polyetylénové vlákna vykazujú lineárnu charakteristiku predĺženia s modulom v tahu blížiacemu sa modulu v tahu vysokopevných uhlíkových vlákiem. Výkon v stlačení a medzilaminárnym šmykom kompozitov založených na vysokopevných polyetylénových vlákiem je relatívne malý. Tieto charakteristiky sú výsledkom hlavne slabej vzájomnej väzby medzi vysokopevnými polyetylénovými vláknami a živicou používanou ako matričný systém. Bola skúmaná celá rada technik spracovania vlákiem s cieľom zdokonaliť ich vzájomnú väzbu (napr. chemické leptanie, opálenie plameňom, mechanické spracovanie, spracovanie studenou plazmou). Posledné výskumy dokázali, že najlepších výsledkov je možné zatiaľ dosiahnuť pomocou

spracovania studenou plazmou, čím bolo dosiahnuté značné zdokonalenie pevnosti vo vzájomných väzbách. [5][10]

2.2.2. POUŽITIE VYSOKOPEVNÝCH POLYETYLÉNOVÝCH VLÁKIEN.

Vysokopevné polyetylénové vlákna sú určené pre použitie tam, kde sa požaduje vysoká pevnosť pri nízkej hmotnosti, odolnosť voči chemikáliam a odolnosť voči korózii. Ďalšou oblastou použitia sú i kompozitné materiály pre vysokonáročné konštrukčné diely pre leteckú, vodnú a pozemnú dopravu a tiež niektoré oblasti strojárenstva.

V oblasti rybárskeho priemyslu sa vysokopevné polyetylénové vlákna používajú na výrobu lán, sietí a plachiet.

Čo sa týka odolnosti proti vniknutiu a proti poškodeniu, kompozity založené na báze vysokopevných polyetylénových vlákiem majú vynikajúce vlastnosti podobné aramidovým laminátom, kde tieto vlákno nevykazujú krehký lom. Energiu absorbuju oddelením jednotlivých vrstiev v okolí nárazu. Toto predurčuje vlákna z vysokopevných polyetylénov pre balistické použitie ako sú helmy a kompozitné štity. Pre potreby polície a bezpečnostných zložiek sa z týchto vlákiem pre svoju nízku mernú hustotu vyrábajú nepriestrelné vesty.

Výrobky vysokopevných polyetylénových vlákiem sa tiež používajú v hybridných aplikáciach k ochrane štruktúry karbonových vlákiem proti vniknutiu cudzích telies. Odolnosť proti vniknutiu, elektrická ochrana a priehľadnosť radarom robí z vysokopevných polyetylénových vlákiem materiály pre kompozitné kryty radarov. [5][10]

2.3. PEVNOSTI ŠPECIÁLNYCH VLÁKIEN.

Príčinou menšej skutočnej pevnosti špeciálnych vlákiem proti teoretickej sú mikroštruktúrové a technologické defekty. Rozmery mikroštruktúrových

defektov závisí na chemickej a makromolekulárnej štruktúre. Ich nebezpečnosť z hľadiska vzniku predčasného, obvykle krehkého lomu, súvisí mimo iné s obmedzenou schopnosťou špeciálnych vlákien vytvárať plastické deformácie.

Okrem štruktúrnych charakteristík rozhodujú o raste defektov a vzniku nebezpečných náhlych lomov pseudokrehkého charakteru podmienky, za ktorých vonkajšie sily pôsobia. Najdôležitejšia je rýchlosť zaťažovania a vplyv susedného prostredia (teplota, relatívna vlhkosť vzduchu, prostredia pôsobiaceho koróziu). Uvedené faktory vo vzájomnej kombinácii rozhodujú o tom, či dojde k rýchlemu zväčšeniu mikrodefektov za vzniku trhliny kritickej dĺžky a ku krehkému lomu, alebo či bude zväčšenie mikrodefektov pomalé a pred porušením dojde plastickou deformáciou ku spevneniu špeciálneho vlákna a k tvárnemu lomu. [2][3]

Z hľadiska metodického sa jedná o pevnosť podľa podmienok namáhania. Najčastejšie sa pevnosť delí na:

- a) pevnosť vyznačujúca sa väčšími hodnotami zmluvného alebo skutočného napäťia, ktorú materiál získa pri krátkodobom pseudostatickom alebo rázovitom namáhaniu. Čas do lomu je krátky.
- b) pevnosť vyznačujúca sa malými hodnotami napäťia pri dlhodobom pôsobeniu statických alebo cyklických síl (únava, starnutie).

Krátkodobými skúškami sa charakterizuje pevnostné a deformačné chovanie pri spojitom zväčšovaní vonkajších síl. U špeciálnych vlákien sa najčastejšie prevádzajú skúšky tāhom alebo ohybom, menej už v šmyku alebo v tlaku. Z deformačných charakteristík sa určuje pomerná deformácia pri pretrhnutiu, označovaná pri skúške tāhom ako tāžnosť. Podľa typu špeciálnych vlákien zahrňuje hodnota pomernej deformácie pri pretrhnutiu prevážne len elastické deformácie (vysoko orientované vlákna) alebo naopak prevážne deformácie trvalé (semikryštalické a niektoré lineárne amorfne polymery).

V technickej praxi sa zatial používajú prevážne hodnoty porúch v štruktúre. V zásade existujú dve možnosti zvyšovania pevnosti jednoduchých materiálov. Jednou z nich je príprava materiálu s veľmi malým množstvom porúch a to buď s dokonalou štruktúrou (whiskery) alebo o tak malom objemu (submikronová

vlákna), že sa pravdepodobnosť výskytu porúch výrazne zníži. Táto cesta zvyšovania pevnosti je využívaná najviac pri príprave vlákien. Druhou možnosťou je naopak vnesenie veľmi jemných porúch rovnomerne do celého objemu vzorku. K vzostupu hodnoty pevnosti tak dôjde v dôsledku interakcie lokálnych napäťových polí, ktoré vznikajú okolo každej poruchy. Týmito poruchami sú najčastejšie cudzie atómy (zmesi) v kryštalickej mriežke. Tohto spôsobu sa využíva u prípravy kovových materiálov, kde po tepelnom mechanickom spracovaniu dochádza k vylučovaniu atómov zmesi s presýtených tuhých roztokov. U zložených (kompozitných) materiálov je pevnosť húževnaté matrice zvyšovaná výstužou z materiálu o vyššej pevnosti, ako má matrica. [2]

2.4. MIKROMECHANIKA ŠPECIÁLNYCH VLÁKIEN.

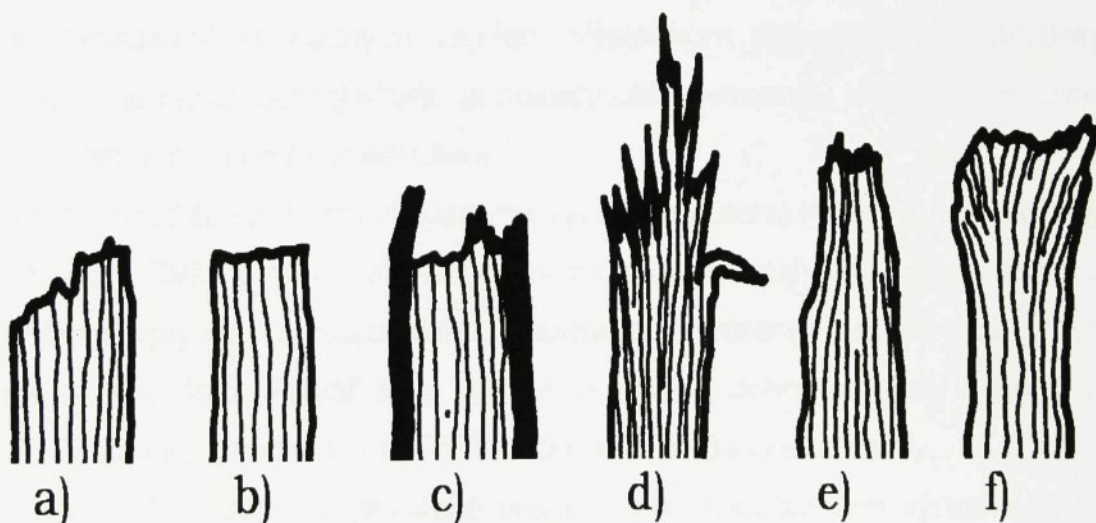
Na základe súčasných poznatkov o štruktúre semikryštalických vlákien sa môžeme pozerať na vlákno ako na kompozit, a využiť niektorých základných poznatkov z mikromechaniky kompozitov pre vyhľadanie čo najvhodnejšieho usporiadania kryštalickej a amorfnej fáze pre dosiahnutie požadovaných vlastností. To je prvý a nezbytný krok pri optimalizácii vlastností materiálov. Za ním pochopiteľne musí nasledovať navrhnutie takej technológie, ktorou by bolo možno vyhľadanú optimálnu štruktúru vyrobiť.

Prírodné kompozitné materiály a dĺžené textilné vlákna zo syntetických polymerov sú zložené z dvoch mikroskopicky zretelne odlišných zložiek rozdielnych vlastností - fibril, ktoré sú hydrofóbne a orientované do smeru osi vlákna a amorfna matrica, ktorá je hydrofilná. Zložky sú oddelené rozhraním a sú vzájomne oddeliteľné chemicky. Zo štruktúrneho hľadiska sú teda textilné vlákna s fibrilárnou štruktúrou samé o sebe vláknovým kompozitom.[2]

2.5. CHARAKTER LOMOV A ICH ČLENENIE.

Podľa vzhľadu lomu môžeme usudzovať o príčinách porušenia a rozsahu plastických deformácií lomu, ktoré tomu predchádzali. Získané informácie je možno vzťahovať ako ku štruktúre materiálu, tak k podmienkam namáhaniu.

V analógii s kovovými materiálmi sa rozdeľujú lomy vznikajúce pri krátkodobom namáhaniu na krehké a tvárne. Skutočný charakter lomu, najskôr z hľadiska mikromechanizmov porušovania, nie je možno uvedenými pojмami jednoznačne postihovať, lebo väčšina krehkých lomov, ako sa javí z makroskopického pohľadu, obsahuje malé oblasti, vo ktorých došlo k plastickým deformáciám veľkého rozsahu. Preto sa tieto lomy nazývajú kvazikrehké.



Obr.2. Morfologia pretrhu vlákien:

- a) stupňovitý pretrh
- b) plochý pretrh
- c) porušenie na rozhraní jadra a plášťa vlákna
- d) pretrh s fibriláciou
- e) pretrh s krčkom
- f) pretrh s rozšírením [3]

Ako krehký lom sa preto v praxi označuje také porušenie telesa, pri ktorom pôsobiace namáhanie (najčastejšie tāhové) nevyvolá pri hodnotení len okom alebo pri malom zväčšení známky plastickej deformácie. Rozmery prierezu telesa v oblasti lomu pred jeho porušením a po ňom sú prakticky rovnaké. Rovina lomu je orientovaná kolmo na hlavné tāhové napätie.

Za tvárny lom sa z makroskopického hľadiska považuje taký lom, ktorému predchádzala veľká plastická deformácia. Pri skúške tāhom je vznik tvárných lomov spojený s výrazným zmenšením prierezu v mieste lomu a s veľkou tāžnosťou. Ukazuje sa, že makroskopické hľadisko je veľmi zjednodušené, lebo mechanismus tvorby lokálnej kontrakcie (krčku) v závislosti na štruktúre vlákna a podmienkach namáhania je značne komplikovaný. Napríklad len u skúšky tāhom môže dochádzať k zahajovaniu makroskopickej deformácie rôznymi spôsobmi, ktorý závisí na lokálnej rýchlosťi deformácie a ohrevu v mieste krčku a na následnom procesu spevňovania. Tieto javy sú riadené viskoelastickými charakteristikami špeciálnych vlákien. Výsledkom pribehajúcich plastických procesov na molekulárnej úrovni je dosiahnuté spevnenie, jednak to sú prejavy plastičnosti i pri krehkom porušení.

Plastičnosť špeciálnych vlákien má významnú úlohu hlavne u kompozitných materiálov. Tvárne lomy sa rozvíjajú z dutín na rozhraníu fáze. Postupne dochádza vplyvom vzrastajúceho napäťia k vytváraniu fibrilárnych útvarov, ktoré sa spevňujú. Pokial majú špeciálne vlákna dobrú adhéziu sekundárnej fáze, zostávajú plasticky pretvorené oblasti, najčastejšie fibrily, na vláknach zakotvené. Prebiehajúce plastické procesy v mikroblastiach výrazne zvyšujú húževnatosť tvárných materiálov, a to i kompozitných, zvýšenou spotrebou energie na uskutočnenie deformačných procesov. [2][3]

2.6. TEORETICKÁ PEVNOSŤ V ŤAHU.

Teoretickou pevnosťou pevnej látky sa rozumie pevnosť látky s ideálou štruktúrou (bez vnútorných defektov) pri teplote rovnej absolútnej nule (0 K), v podmienkach pomalého jednoosého namáhania tāhom lebo šmykom.

Tieto podmienky zaručujú rovnomerné zaťaženie všetkých medziatomových (kovalentných) a medzimolekulových väzieb a súčasné porušenie všetkých väzieb v mieste pretrhu vzorku. Teoretická pevnosť závisí na štruktúre látky a najviac na orientácii makromolekul.

Skutočná meraná hodnota pevnosti je o niekoľko rádov nižšia ako teoretická. Kedže žiadny materiál nedosahuje hodnôt teoretickej pevnosti, skutočná pevnosť je rádovo $10^2 - 10^4$ než teoretická, je jej praktický význam v tom, že predstavuje medzu, ktorej sa snažíme priblížiť pri výrobe vysokopevných materiálov.

Dôvodom je rada vplyvov, z nich najvýznamnejší je pôsobenie medzimolekulárnych síl, vplyv nadmolekulovej štruktúry, vplyv orientácie molekul a malej štruktúrnej nehomogenity a defekty vo vzorkách, ktoré nie je možné pri meraní deformačných charakteristík postihnúť.

Premenlivosť týchto vplyvov spôsobuje značný štatistický rozptyl nameraných hodnôt pevností, ktorý nie je možné vysvetliť chybami experimentu.

Tento rozptyl preto spočíva v samej podstate pevnosti a preto je nutné pevnosť charakterizovať distribučnou funkciou. Štatistickým charakterom pevnosti sa zabýva štatistická teória pevnosti.[11]

2.7. ŠTATISTICKÝ CHARAKTER PEVNOSTI.

Štatistická teória pevnosti je založená na hypotéze najslabšieho článku, na najnebezpečnejšom defekte, ktorý sa v namáhanom priereze vyskytuje. Týmto

kritickým defektom môže byť napríklad lokálna nehomogenita, trhlina, rozhranie medzi kryštalickými a amorfími oblastami vo štruktúre apod.

Základne myšlienky štatistickej teórie pevnosti je možné zhrnúť do nasledujúcich bodov:

- v rôznych vzorkách, rovnakých vonkajších rozmerov rovnakého materiálu, pripravených rovnakou technológiou sa vyskytujú defekty s rozdielnym stupňom nebezpečnosti,
- nebezpečnosť defektov raste s jeho veľkosťou, pravdepodobnosť výskytu defektu s jeho rastúcou veľkosťou (nebezpečnosťou) klesá,
- čím väčší je objem vzorku, tým pravdepodobnejší je výskyt nebezpečných defektov,
- pevnosť je určená najnebezpečnejším defektom.

Zo štatistickej teórie vyplýva, že čím je väčší objem alebo povrch vzorku (presnejšie namáhaná oblasť materiálu), tým menšia je pevnosť. Tento jav nazývame rozmerovým efektom. Rozdiel v pevnosti vzorkou malých a veľkých rozmerov vysvetľujeme v rámci štatistickej teórie pevnosti tým, že vo väčšom vzorku je vyššia pravdepodobnosť výskytu najnebezpečnejších defektov. Potvrdenie tejto hypotézy je napríklad výrazná závislosť pevnosti vlákien a nití na ich dĺžke alebo priemeru.

Štatistický charakter pevnosti nemusí byť jedinou príčinou nameraného rozmerového efektu. Vzorky s rozdielnou veľkosťou môžu mať rozdielnú štruktúru. Tento tzv. štruktúrny efekt pozorujeme napr. u sklenených vlákien.

V súčasnej dobe bolo predložené ešte jedno vysvetlenie rozmerového efektu: malá vzorka je pevnejšia nielen preto, že v nej existujú menej nebezpečné defekty, ale tiež preto, že v nej existuje menej miest, v nich môže dôjsť k porušeniu väzieb medzi časticami vplyvom tepelných fluktuácií (energetický efekt).

Štatistická teória pevnosti kvantitatívne popisuje štatistické rozdelenie pevnosti a štatistický vztah medzi rozmerom vzorku a jeho pevnosťou. V rôznych štatistickej teóriach pevnosti je rozdelenie pevnosti popísané

rôznymi pravdepodobnostnými funkciami a rozdielnym kvantitatívnym vzťahom pre rozmerový efekt. [11]

2.8. WEIBULLovo ROZDELENIE.

Zatiaľ najčastejšie používané rozdelenie, ktoré bolo experimentálne potvrdené pre vláknové materiály je Weibullovo. [3] Toto rozdelenie vyjadruje dobu do poruchy u systému, kde sa pravdepodobnosť vzniku poruchy mení v čase. Ide teda o zovšeobecnenie exponenciálneho rozdelenia na prípady, kedy sa napríklad prejavuje dôsledok skrytých vád alebo únava materiálu. Tiež pevnosť textilných vlákien má často toto rozdelenie (rozšírenie na tri parametre). [8]

Pri použitíu rozdelenia pre popis pevnosti vlákien sa predpokladá, že k poruche materiálu dôjde v špecifickom mieste s kritickou poruchou (trhlina, vada). Poruchy sú rozmiestnené náhodne po celej dĺžke vlákna (rozmiestnenie porúch je popísané Poissonovým rozdelením), pravdepodobnosti výskytu porúch sú na jednotlivých miestach vzájomne nezávislé. [3][7]]

Pravdepodobnosť $C(V, \sigma)$, že nedôjde k porušeniu vlákna závisí na úrovni ťahového napäťia σ a na objeme vlákna V . Len vo veľmi malom objeme ($V \rightarrow 0$) nie sú žiadne vady a preto platí [7]

$$C(0, \sigma) = 1 \quad (1)$$

a pre veľké objemy ($V \rightarrow \infty$) sa zavádzá

$$C(\infty, \sigma) = 0 \quad (2)$$

Pravdepodobnosť, že neporušenie vlákna zloženého z úseku o objeme V a objeme ΔV má formu [7][9].

$$C(V + \Delta V, \sigma) = C(V, \sigma) * C(\Delta V, \sigma) \quad (3)$$

Rovnica (4) je založená na predpoklade nezávislosti pravdepodobnosti, že nedôjde k porušeniu v objeme V a v objeme ΔV . Pomocou linearizácie s použitím Taylorova rozvoja môžeme písat:

$$C(\Delta V, \sigma) = C(0 + \Delta V, \sigma) \sim C(0, \sigma) + C'(0, \sigma) * \Delta V \quad (4)$$

a $C(V + \Delta V, \sigma)$ ako

$$C(V + \Delta V, \sigma) \sim C(V, \sigma) + C'(V, \sigma) * \Delta V \quad (5)$$

Využitím rovnice (4) a (5) a podmienky (1) získame výraz:

$$C(V + \Delta V, \sigma) \sim C(V, \sigma) * [1 + C'(0, \sigma) * \Delta V] \sim C(V, \sigma) + C'(V, \sigma) * \Delta V \quad (6)$$

Úpravou rovnice (6) získame konečný tvar [7][9]:

$$[C'(V, \sigma) / C(V, \sigma)] = C'(0, \sigma) = -R(\sigma) / V_0 \quad (7)$$

$R(\sigma)$ sa označuje ako špecifická funkcia riziku, je kladná a monotónne rastúca. $C'(0, \sigma)$ je klesajúca, z toho vyplýva, že v rovnici (7) musí byť znamienko mínus pred členom $R(\sigma)$. V_0 je zvolený jednotkový objem.

Integráciou rovnice (7) s podmienkou (1) získame [9]:

$$C(V, \sigma) = \exp [-(V / V_0) * R(\sigma)] \quad (9)$$

Pravdepodobnosť porušenia vlákna $F(V, \sigma)$ je doplnkom na $C(V, \sigma)$. Distribúcia napäťia pri pretrhnutiu je potom [9]

$$F(V, \sigma) = 1 - \exp [-(V / V_0) * R(\sigma)] \quad (9)$$

Pre známe Weibullovo rozdelenie (model WEIB3) sa empiricky volí $R(\sigma)$:

$$R(\sigma) = [(\sigma - A) / B]^C \quad (10)$$

Tu A je spodný limit pevnosti, B je parameter merítka, C je parameter tvaru. Po dosadeniu (10) do rovnice (9) má $F(V, \sigma)$ tvar [9]

$$F(V, \sigma) = 1 - \exp [-(V / V_0) * ((\sigma - A) / B)^C] = 1 - \exp [-I / I_0 * ((\sigma - A) / B)^C] \quad (11)$$

Rovnica (11) platí za predpokladu, že prierez vlákna sa významne nezmení ($S = S_0$) a je používaná pri hodnotení vplyvu dĺžky na pevnosť.

Pokiaľ sa významne nemení deformácia do pretrhu ($I_0 \sim I$), potom v rovnici (11) pomer $I / I_0 = 1$.

$$F(V, \sigma) = 1 - \exp [-(\sigma - A) / B]^C \quad (12)$$

Pre krehké materiály sa obvykle predpokladá $A = 0$ (WEIB2)

Weibullový modely [7] majú hornú hranicu pevnosti rovnú nekonečnu, čo neodpovedá realite (viz rovnice (2)). Aby sa prekročilo toto omedzenie navrhuje Kies [7] viacej všeobecnú funkciu riskov (model Kies) vo forme:

$$R(\sigma) = [(\sigma - A) / (A_1 - \sigma)]^C, \quad (13)$$

kde A_1 je horná hranica pevnosti.

Pre krehké materiály je znovu $A = 0$ (model Kies 2).

V niektorých prípadoch sa Weibullovo rozdelenie nezhoduje s nameranými hodnotami. Pre analýzu rozdelenia pevnosti sa tak používa model zložený z viacerých funkcií riziku.

Pre bimodálne rozdelenie (lom je výsledkom dvoch druhov vád) s nulovou spodnou hranicou pevnosti je výsledná funkcia riziku:

$$R(\sigma) = (\sigma / B)^C + (\sigma / B_1)^D \quad (14)$$

Pre Gumbellové rozdelenie (GUMB) je $R(\sigma)$ vyjadrené ako:

$$R(\sigma) = \exp [(\rho - A) / B] \quad (15)$$

Správny výber $R(\sigma)$ závisí kriticky na odhadoch modálnej hodnoty (relatívne maximum na hustote pravdepodobnosti) a na prítomnosti či neprítomnosti nenulovej spodnej hranice pevnosti.

2.9. MODEL DISTRIBÚCIE PEVNOSTI.

Odhad $R(\sigma)$ a parametrov

Pomocou štatistickej analýzy dát pevnosti σ_i , $i = 1, \dots, N$ špecifikujeme $R(\sigma)$ a odhad ich parametrov. Vzhľadom k jej špecifickej štruktúre môžu byť parametry Weibullova rozdelenia odhadnuté využitím troch hlavných techník:

- Metóda maximálnej viero hodnosti
- Kvantilová metóda
- Momentová metóda

Niekedy je výhodné kombinovať tieto a ďalšie metódy pre zjednodušenie.

1. Metóda maximálnej viero hodnosti (MLE)

Táto metóda slúži k získaniu bodových odhadov. Pre prípady, kedy $\sigma_i = 1, \dots, N$ sú nezávislé premenné s rovnakou hustotou pravdepodobnosti $F'(\sigma_i, a)$ má logaritmus viero hodnosti funkcie $\ln L$ tvar[6][7]

$$\ln L(a) = \sum \ln [F'(\sigma_i, a)], \quad (16)$$

kde sú parametre odpovedajúce funkcie risku MLE.

Odhady a^* môžu byť získané maximalizáciou $\ln L(a)$, čo viedie na úlohu riešenia sústavy nelineárnych rovníc (viď [7]).

2. Kvantilová metóda

Metódy tohto typu využívajú tzv. poriadkové štatistiky $\sigma_{(i)}$. Pozn. $\sigma_{(i)} \leq \sigma_{(i+1)}$, $i = 1, \dots, N$. Je známe, že hodnoty $\sigma_{(i)}$ sú hrubé odhady pre kvantilové funkcie pre pravdepodobnosti [6][7]

$$P_i = F(\sigma_i) = (i - 0,5) / (N + 0,25) \quad (17)$$

Využitím rovnice (17) a poriadkových štatistik je problém odhadu parametrov prevedený na problém nelineárnej regresie. Tzv. metóda Weibullovej transformácie využíva úpravy rovnice (10) pre poriadkovej štatistiky [7]

$$\ln [R(\sigma_i)] = \ln [-\ln(1 - P_i)] \quad (18)$$

Odhady parametrov modelu $R(\sigma)$ sa získajú metódou najmenších štvorcov, to je minimalizácia kritéria

$$S(a) = [y_i - \ln R(\sigma_i)]^2, \quad (19)$$

kde $y_i = \ln [-\ln(1 - P_i)]$.

Tato metóda je založená na nesprávnom predpoklade, že y_i sú nekorelované náhodné premenné s konštantným rozptyлом.

Kritérium najmenších štvorcov pre kvantilovú regresiu má tvar

$$S(a) = [\sigma_i - Q(Z_i)]^2 \quad (20)$$

kde $Z_i = \text{exú } (y_i)$ a $Q(Z_i)$ je teoretická kvantilová funkcia.

Pre trojparametrické Weibullové rozdelenie je $Q(Z_i)$

$$Q(Z_i) = A + B * Z_i^{1/C} \quad (21)$$

Pre trojparametrický Kiesov model platí

$$Q(Z_i) = (A + A_1 * Z_i^{1/C}) / (1 + Z_i^{1/C}) \quad (22)$$

Pre Gumbellov model platí

$$Q(Z_i) = A + B * \ln(Z_i) \quad (23)$$

Vzhľadom k približnosti $\sigma_{(i)}$ a nekonštantným rozptylom môžu byť definované špecifické váhy.

Výber modulov $R(\sigma)$

Často sa používajú testy pre zrovnanie odhadnutých a teoretických rozdelení. Transformácie problému odhadu parametrov modelu $R(\sigma)$ na problém regresie umožňuje využiť štatistické kritéria pre výber optimálneho modelu [7].

K rozlíšeniu medzi modelmi s rôznym počtom parametrov M je vhodné Akaikeho informačné kritérium AIC [6][7]

$$AIC = N * \ln[S(a^*) / (N - M)] + 2 * M, \quad (24)$$

kde $S(a^*)$ je minimálna hodnota $S(a)$. Najlepší model je ten, ktorý má toto kritérium najmenšie.

3. EXPERIMENTÁLNA ČASŤ.

Pre stanovenie pevnosti špeciálnych vlákien boli použité tri typy vysokopevných vlákien - Nomex, Kevlar 29, Dyneema. Nomex a Kevlar patria do skupiny aramidových a Dyneema do skupiny vysokopevných polyetylénových vlákien. Experiment merania som previedol na trhacom prístroji FM - 27.

3.1. ELEKTRONICKÝ PRÍSTROJA SKÚŠANIE PEVNOSTI ELEMENTÁRNYCH VLÁKIEN TYP FM-27.

3.1.1. URČENIE A ROZSAH POUŽITIA PRÍSTROJA.

Prístroj slúži k skúšaniu trhacej pevnosti vlnených, bavlnených a syntetických vlákien, určovaniu trhacej sily a predĺženiu.

Prístroj môže byť používaný v laboratóriách textilných závodov a výrobcov vlákien k zisťovaniu kvality, ale tiež pre výskumné účely. Skúšky môžu byť prevádzané pri štandardných podmienkach i na vláknach ponorených do vody.

3.1.2. FUNKČNÝ PRINCÍP.

Prístroj je vertikálny trhací stroj s jednovretenovým tiažným zariadením a elektromechanickým ovládaním.

Horná upínacia svorka má behom skúšky len zanedbateľný pohyb, tak že môže byť prístroj klasifikovaný ako prístroj s konštantnou predĺžovacou rýchlosťou. Predĺžovacia rýchlosť môže byť plynulo regulovaná vo vnútri troch

stupňov, tak že je možné nastavenie doby trhania predpísané normou. Čažná sila je indukčným snímačom z meranej hodnoty premenená v elektrický signál. Meranie predĺženia sa prevádzka fotoelektrickým snímačom zmeraných hodnôt, ktorý zachycuje otáčanie čažného vretna. Indikácia hodnôt sily v ťahu a prieťahu a ukladanie týchto hodnôt do pamäti sa deje na digitálnom svietiacom displeji.

3.1.3. TECHNICKÉ ÚDAJE.

Silomerné rozsahy s 2 meriacimi hlavami : 0 - 10 /9.99/ , 0 - 50 cN
0 - 100 /99.9/, 0 - 500 cN

Rozsah predĺženia : 0 - 99.9 mm

Uvoľnenie predĺženia : 99.9/0.1 mm

Volná upínacia dĺžka : 0 - 140 mm, nastaviteľná v stupňoch 1 mm

Volná upínacia dĺžka pri skúškach za mokra : 10 - 50 mm, nastaviteľná v stupňoch 10 mm (prestavba dolnej svorky)

Presnosť meranej sily : + 1 % pokiaľ ide o zmeranú hodnotu medzi 20 - 100 % rozsahu

Rýchlosť prieťahu: v 3 stupňoch

I. : 0.4 - 4 mm/min

II. : 1.8 - 18 mm/min

III. : 14 - 140 mm/min

Rýchlosť spätného chodu: mnohonásobok rýchlosťi prieťahu

Elektrický prípoj: 220 V, 50 Hz, ochranné uzemnenie

Príkon: max. 75 VA

Referenčné podmienky: normálne klíma, podľa predpisových noriem

Rozmery: 360 * 390 * 640 mm

Hmotnosť prístroja: cca 38 kg

3.2 POSTUP PRÍPRAVY VZORKU PRE MERANIE.

Meranie sa týkalo trhania špeciálnych organických vlákien (Nomex, Kevlar 29, Dyneema) na vláknovej trhačke FM - 27. Pre samotné meranie bolo potrebné zhotoviť vzorky - rámečkov. U klasických prírodných vlákien, bavlny alebo vlny, sa vyberie náhodne 150 vlákien na skúšanie pevnosti v tahu v klimatizovanom stavu. Pri skúške sa na jeden koniec vlákna upevní závažie ako predpäťie, druhý koniec sa uchopí pinzetou a upevní sa do hornej čel'usti prístroja. Pri zvislej polohe vlákna sa utiahne dolná čel'ust' a uvedie sa prístroj do chodu.

Pre špeciálne organické vlákna tento postup nie je možné použiť. Vlákna sa vyznačujú vysokými pevnosťami, veľkou jemnosťou a majú veľký sklon k prekízovaniu v čel'ustiach, preto sa lepia do papierových rámečkov. Z tohoto dôvodu bolo upostené od predpäťia závaží. Bežné upnutie v čel'ustiach sa neosvedčilo lebo hrany plechu vlákno poškodzujú. Na výrobu rámečkov sa používal bežný kancelársky papier. Vnútorné rozmery rámečka sa robia pomocou raznice, ktorej rozmery sú 10 x 10 mm. Medzi takto zhotované 2 rámečky sa vloží a prilepí vlákno. Na lepenie špeciálnych organických vlákien bolo nutné použiť špeciálneho priemyselného lepidla nemeckej výroby značky UNI-POWER, lebo pri použitiu bežných lepidiel vlákna prekízovala.

3.3. POSTUP PRI TRHANIU VLÁKNIEN.

Trhanie sa uskutočňovalo podľa normy ČSN 800200. Pred začiatkom trhania bolo nutné nechať prístroj 30 minút zapnutý, pretože vláknový trhací prístroj neboli hned po zapnutí schopný ukázať hodnotu požadovanej tahoovej sily a predĺženia. Ďalej bolo nezbytné uskutočniť kalibráciu prístroja, ktorá sa

prevádzala pomocou 8 g a 40 g závažiami. Vzorka sa musela umiestniť medzi hornú a dolnú čel'ust', pričom horná čel'ust' nie je upevnená nastálo, kvôli lepšej manipulácii s jednotlivými vzorkami. Potom sa po stranách rámeček prestrihol a v čel'ustiach sme dosiahli toho, že bolo upnuté samotné vlákno. Pred trhaním sa musel vynulovať digitálny displej. Trhanie sa prevádzalo pri konštantnej rýchlosťi 16 mm za minútu. Keď sa vlákna pretrhla, tak ľavý displej ukazoval tāznú sílu F [cN] a pravý dĺžku predĺženia vlákna Δl [mm]. Pomocou tlačítka na doske prístroja sa dolná čel'ust' vrátila do pôvodnej polohy, aby bola pripravená k ďalšiemu trhaniu.

4. VÝSLEDKY A DISKUSIA .

V tabuľke 1 sú uvedené základné štatistické charakteristiky pevnosti skúmaných vlákien. Je znateľná kladná šikmost' ukazujúca na rozdelenie zošikmené k vyšším hodnotám.

V tabuľke 2 sú uvedené odhady parametrov Weibullového rozdelenia, rovnica (13) pre prípad $A = 0$, získané maximalizáciou vieročodnostnej funkcie. Mierou kvality odhadu je hodnota maxima vieročodnostnej funkcie MLE. Pre odhadnutie parametrov metodou maximálnej vieročodnosti bol použitý program ADSTAT.

Na obr. 3. sú grafy hustoty pravdepodobnosti a na obr. 4. grafy funkcie riziku pre všetky vlákna. Hladká čiara je aproximácia normálnym rozdelením a nehladká čiara je neparametrický odhad z Rosenblattového pohyblivého histogramu. Je viditeľné výraznejšie zošikmenie k vyšším hodnotám.

V tabuľke 3 sú uvedené odhady parametrov Weibullového rozdelenia (13) získané metódou maximálnej vieročodnosti.

Porovnaním tab. 3 a tab. 2 je vidieť, že pre $A \neq 0$ raste maximálna hodnota vieročodnostnej funkcie, čo svečí o potrebe zavedenia nenulového počiatku A.

Odhady parametrov Weibullového rozdelenia (13) určené metódou kvantilovej regresie sú uvedené v tabuľke 4. Je uvedené kritérium regresie Akaikeho informačné kritérium AIC. Na obr. 5 sú uvedené experimentálne hodnoty kvantilovej funkcie a modelová krivka odpovedajúca Weibullovému rozdeleniu. Je viditeľná pomerne dobrá zhoda svedčiaca o použiteľnosti Weibullového rozdelenia.

Odhady kvantilovej regresie sa všeobecne lišia od odhadov získaných metódou maximálnej vieročodnosti. S ohľadom na fakt, že získanie každej hodnoty napäťa pri pretrhu je doprovodené experimentálou chybou (meriaceho prístroja), je možné konštatovať, že kvantilová regresia lepšie

odpovedá realite ako metóda maximálnej vieročnosti, ktorá s experimentálnymi chybami nepočítá.

Tab.1.: Základná charakteristika pre napätie [Gpa]

	NOMEX	KEVLAR 29	DYNEEMA
počet meraní	100	100	100
priemer [GPa]	0,30473	3,14240	1,8057
smer. Odchýlka [GP]	0,04053	0,47520	0,2034
rozptyl [GPa²]	0,00164	0,22582	0,0414
špičatosť [-]	2,79160	2,55060	3,6998
šikmost' [-]	0,23696	0,17221	0,4907
medián [GPa]	0,29662	3,14240	1,8199

Tab.2.: Odhad parametrov pre Weibullovo rozdelenie(WEIB2)

$$A = 0$$

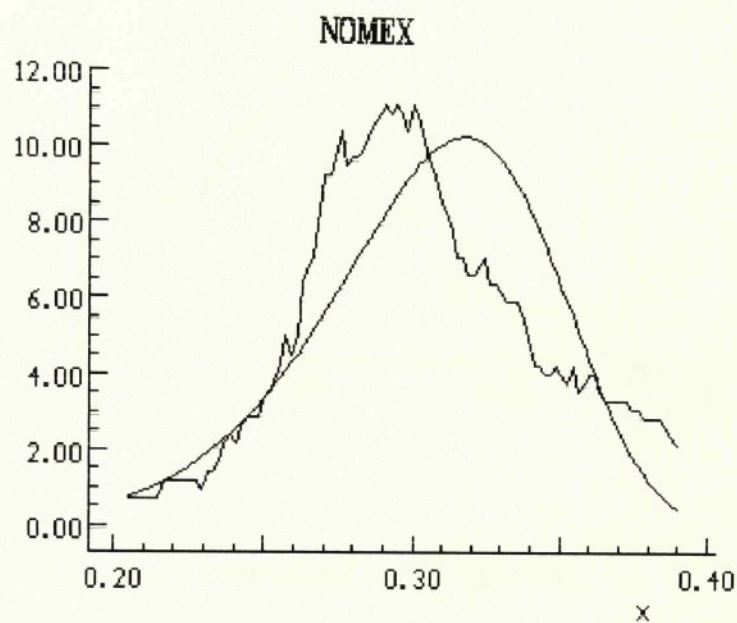
	NOMEX	KEVLAR 29	DYNEEMA
lambda (C) [-]	8,9906	7,8395	81,648
sigma (B) [GPa]	0,3218	3,3401	0,0221
optimálna hodn. MLE	172,74	-71,4020	11,036

Tab.3.: Odhad parametrov pre Weibullovo rozdelenie (WEIB3)

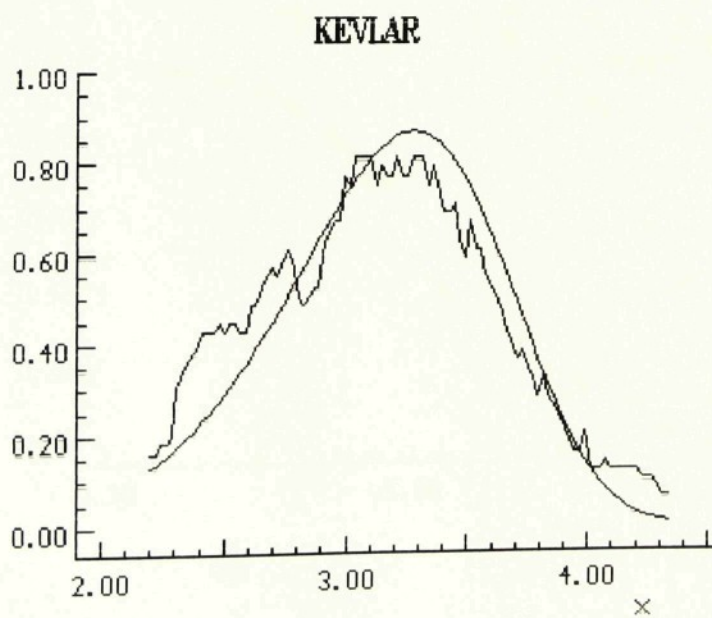
	NOMEX	KEVLAR 29	DYNEEMA
počiatok (A) [GPa]	0,1662	2,082	1,3349
lambda (C) [-]	3,8415	2,377	2,4197
sigma (B) [GPa]	0,1540	1,1971	0,5207
optimálna hodn. MLE	178,70	-65,085	19,6850

Obr. 3: Grafy hustoty pravdepodobnosti Weibullového rozdelenia (WEIB2)
osa x: σ , osa y: hustota pravdepodobnosti

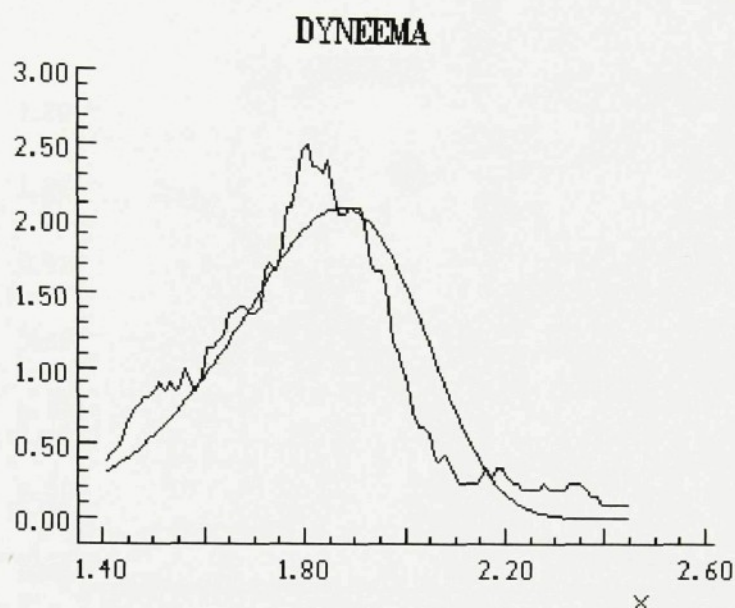
a)



b)



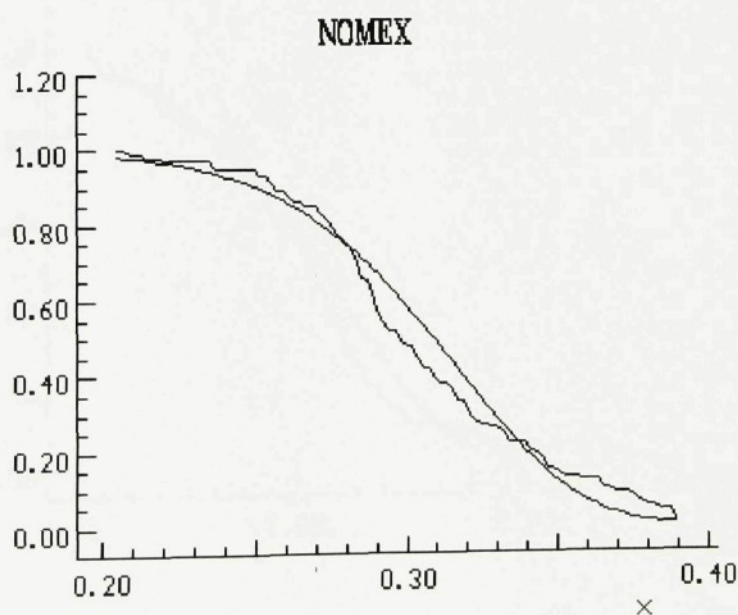
c)



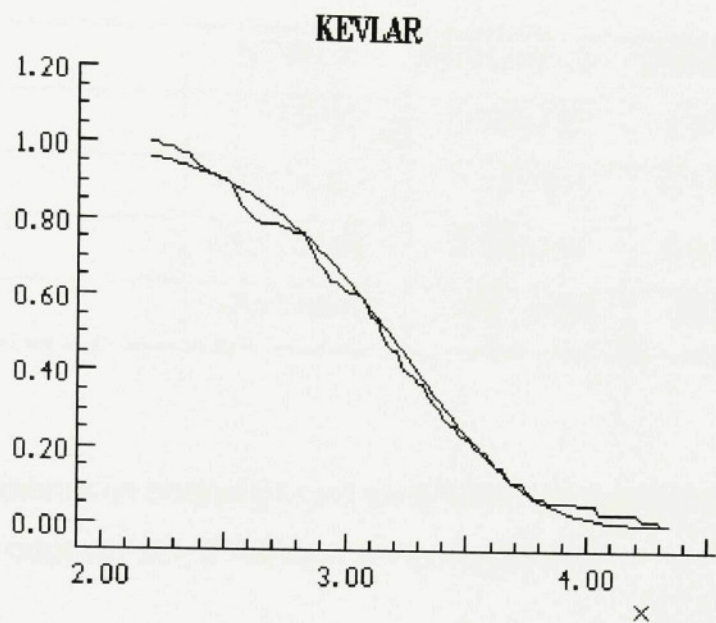
Obr. 4: Grafy funkcie riziku Weibullového rozdelenia

osa x: σ , osa y: funkcia riziku

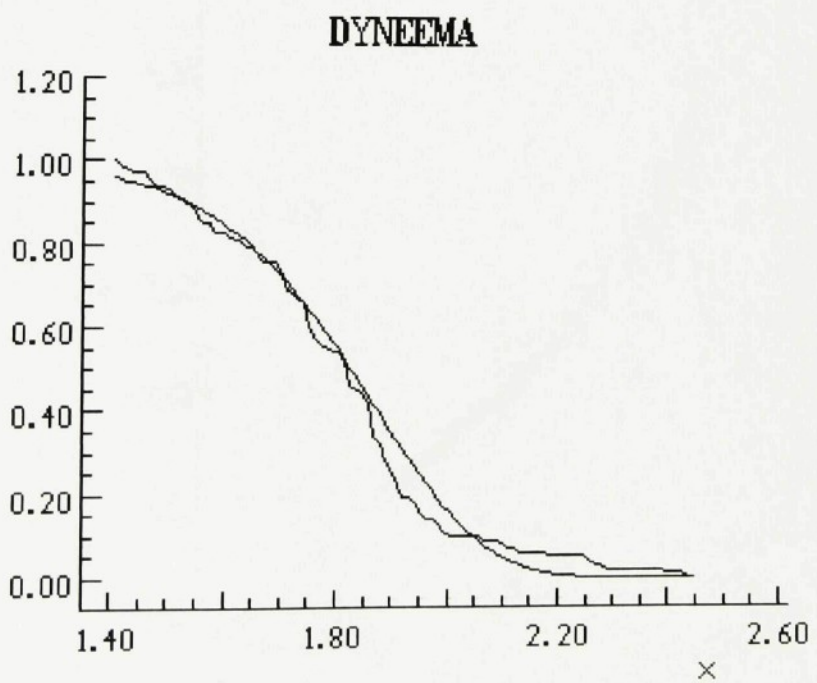
a)



b)



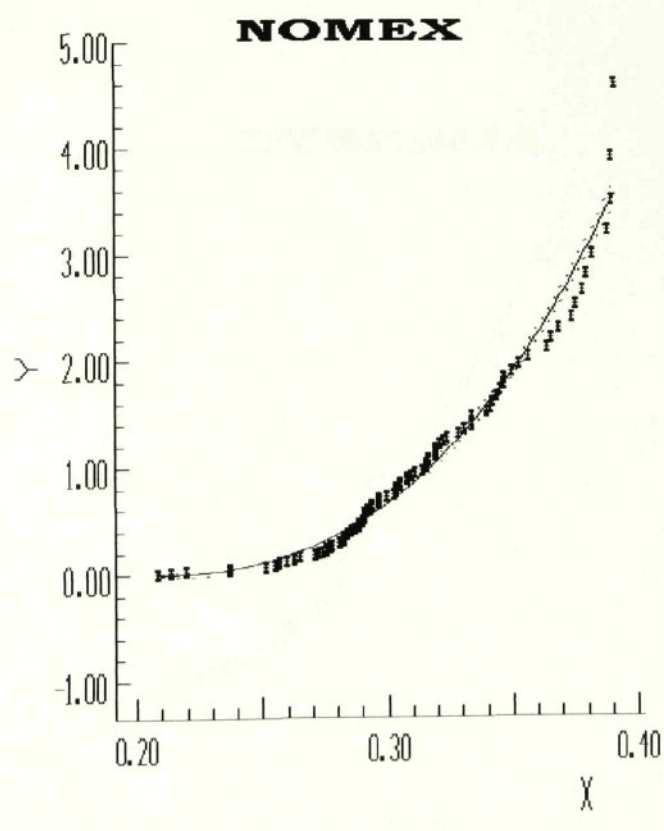
c)

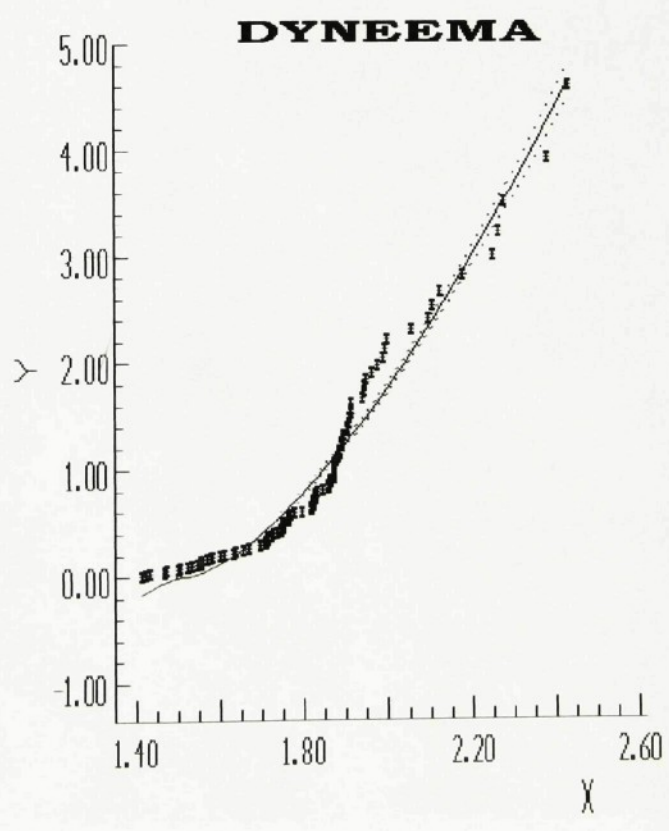
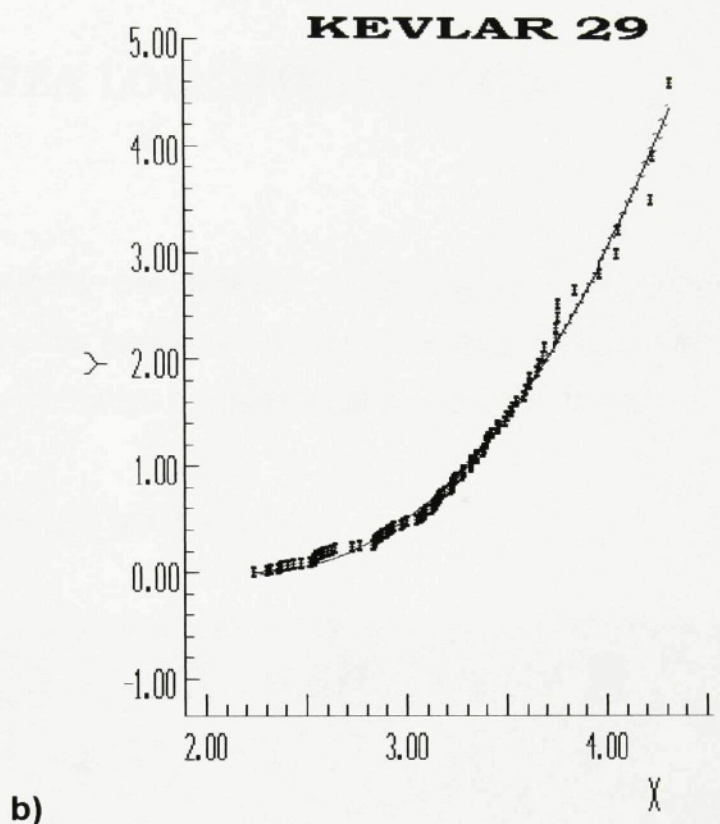


Tab.4.: Odhad parametrov Weibullového rozdelenia určene metódou kvantilovej regresie.

	NOMEX	KEVLAR 29	DYNEEMA
$p_1 (A)$ [GPa]	1,515032	2,158732	0,1999328
$p_2 (B)$ [GPa]	0,324567	1,131304	0,1172488
$p_3 (C)$ [-]	1,515198	2,289490	2,6131590
AIC	-351,6078	-487,9425	-372,1835

Obr.5.: Experimentálne hodnoty kvantilovej funkcie a modelová krivka odpovedajúca Weibullovému rozdeleniu.





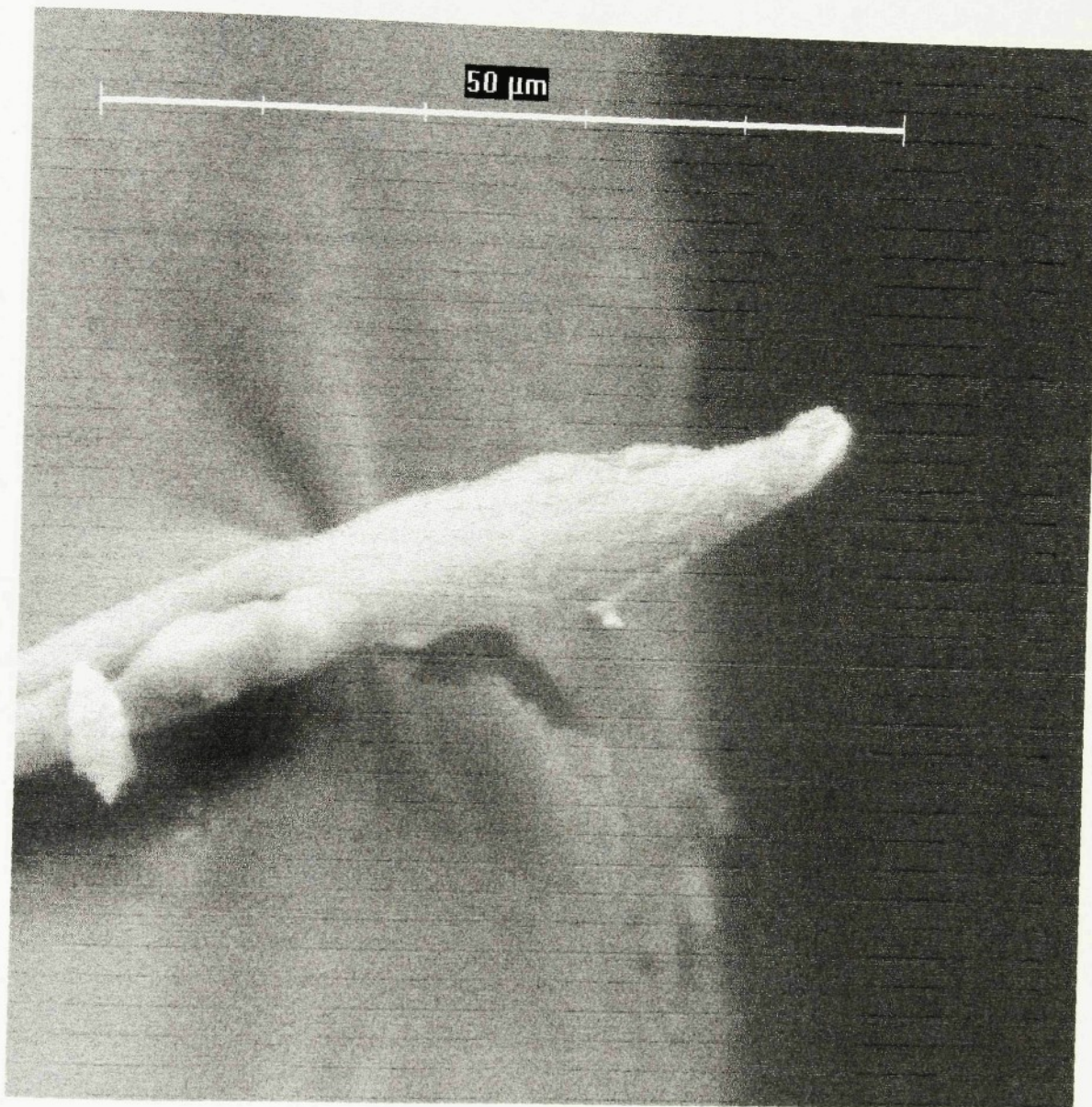
5. ANALÝZA LOMOVÝCH PLOCH

Lomové plochy boli získané na rastrovacom elektronkovom mikroskope REM spojeným so systémom obrazové analýzy LUCIA - M. Ich analýza je len kvalitatívna a vychádza z typických obrázkov (obr. 6 - 11).

Obr.6.: Nomex (typ porušenia 1).



Obr.7.: Nomex (typ porušenia 2).

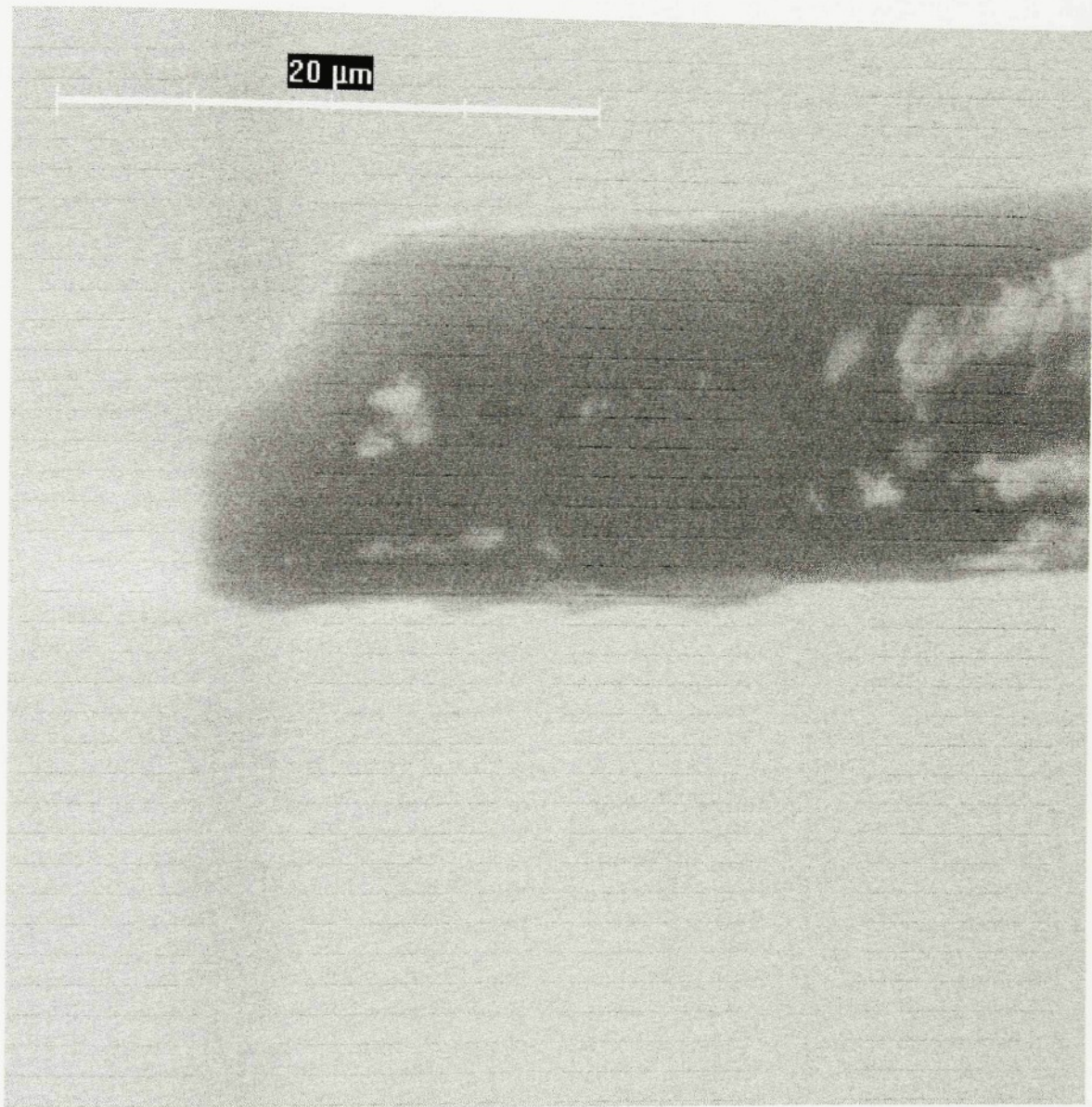


Podľa vzhľadu lomu (oblasti pretrhu) vlákna môžeme usudzovať, že sa jedná o pretrh s rozšírením, ktorý je charakteristický hlavne u vlákien, u ktorých predchádza pri trhaní veľká plastická deformácia. Tieto charakteristiky sa najviac podobajú tomuto vláknu, čo sme zmerali i prakticky (pomerne veľká ľažnosť tohto vlákna).

Obr.8.: Kevlar 29 (typ porušenia 1)

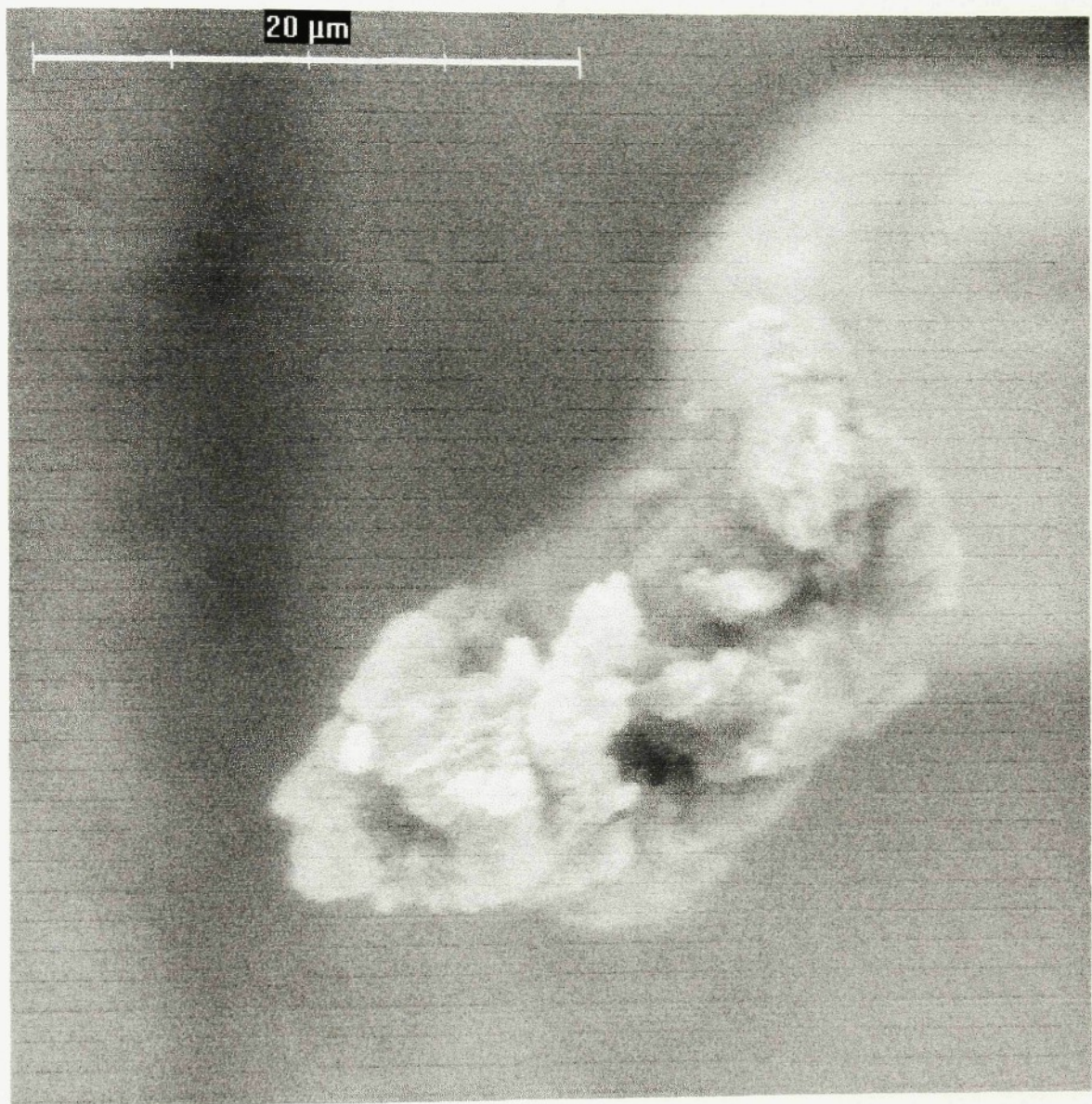


Obr. 9.: Kevlar 29 (typ porušenia 2)

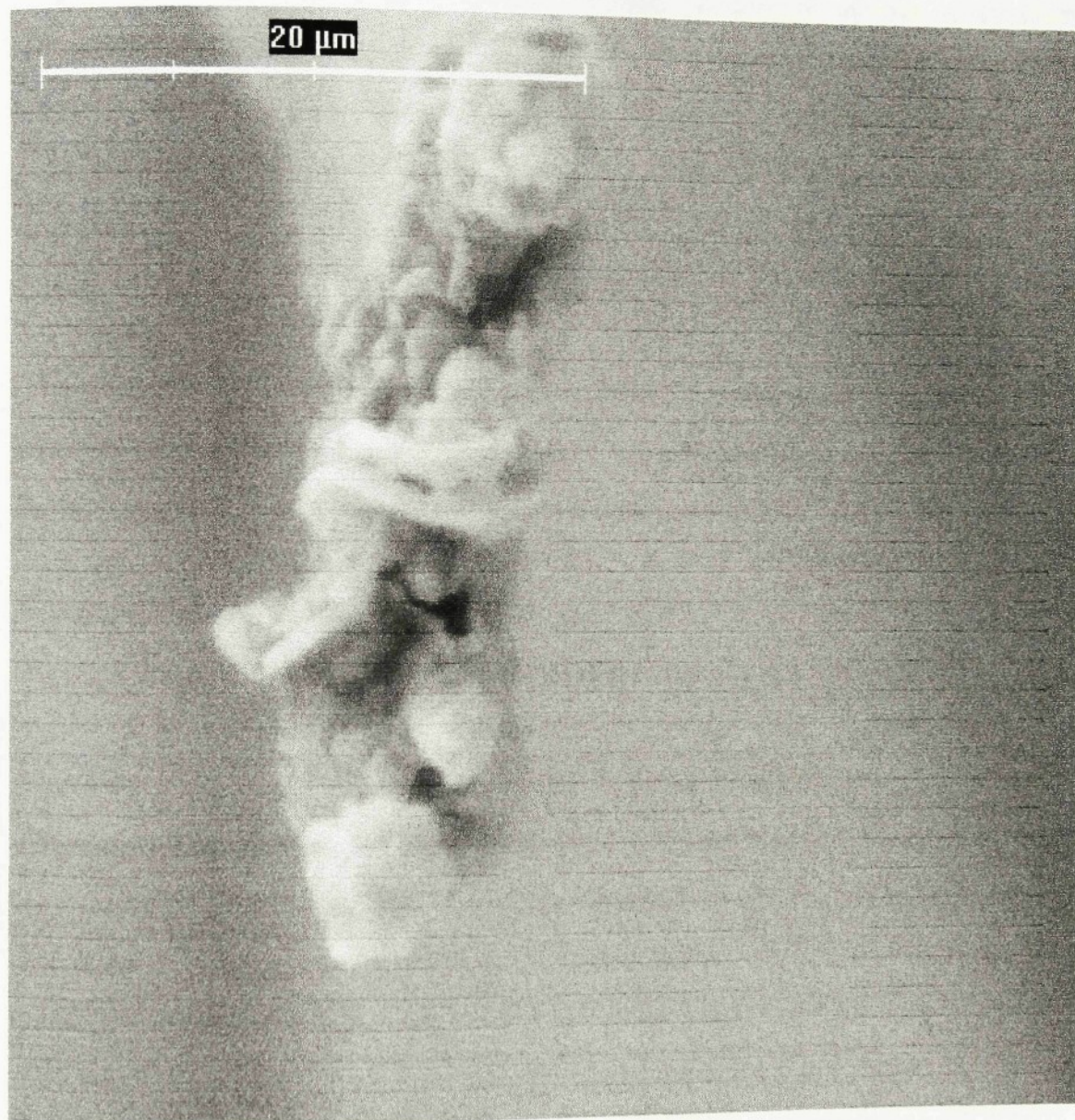


Podľa vzhľadu lomu (oblasti pretrhu) vlákna môžeme usudzovať, že sa jedná o stupňovitý pretrh, ktorý je charakteristický u vlákien s heterogennou štruktúrou.

Obr.10.: Dyneema (typ porušenia 1).



Obr.11.: (typ porušenia 2)



Podľa vzhľadu lomu (oblasti pretrhu) môžeme usudzovať, že sa jedná o naprosto jasný pretrh s fibriláciou, ktorý je charakteristický u vlákien s vysokou anizotropiou (vysokodĺžené). Pre toto vlákno je charakteristický vznik pozdĺžnych trhlín vedúcich k fibrilácii vlákna a k postupnému pretrhu.

6. ZÁVER

V textilnom priemysle je venovaná veľká pozornosť vývoju a výskumu organických vlákien pre ich širokú oblast použitia. Je dôležité poznať ich základné technické parametre (mechanické, fyzikálne a chemické vlastnosti).

V tejto diplomovej práci sa skúmali a merali predovšetkým mechanické vlastnosti (pevnosť v tahu), chovanie pri mechanickom zaťaženíu (predĺženie) a spôsob akým došlo k ich mechanickej destrukcii (pretrhnutie vlákna a vznik lomových plôch).

K praktickému spracovaniu boli určené tri typy vlákien: Nomex, Kevlar 29 (aramidy) a Dyneema (polyolefíny). Tieto vlákna patria k najpoužívanejším zo špeciálnych vlákien a preto sa pomerne úzko rozobrala ich chemická štruktúra, fyzikálno-mechanické vlastnosti a oblasti ich širokého použitia. Pri meraní sa dospelo k tomu, že najväčšiu tiažnosť vykazuje Nomex, ale za to vykazuje rádovo desaťkrát nižšiu pevnosť ako Kevlar 29. Najpevnejšie vlákno je podľa vykonaných meraní Kevlar 29 a má pevnosť dvakrát vyššiu ako Dyneema. Kevlar 29 a Dyneema majú tiažnosť približne rovnakú. K tomuto výsledku bolo potrebné okolo 150 meraní pre každé vlákno, z čoho sa vybralo 100 platných. Ostatné výsledky boli neplatné merania vzniknuté nejakou vonkajšou chybou (napr. vlákno nedrží v rámečku). Ďalšie chyby pri meraní mohli nastať nesprávnym nalepením vlákna do rámečku, takže vlákno nebolo vždy kolmé na čel'uste trhačky a tým hodnoty pevnosti sa trocha skreslujú.

Táto diplomová práca ponúka ucelený prehľad o vlastnostiach, štruktúre a použitiu konkrétnie troch špeciálnych vlákien (Nomex, Kevlar 29, Dyneema) a môže slúžiť ako podklad k ďalším vedeckým prácам.

ZOZNAM POUŽITÝCH SKRATIEK A SYMBOLOV.

f_k	stupeň orientácie kryštalickej časti vlákna
f_a	stupeň priemernej orientácie reťazcov (Hermansov faktor)
M_W	molekulová hmotnosť
REM	rastrovací elektronkový mikroskop
$R(\sigma)$	funkcia risku
A, B	konštanty závislé na priemeru a zloženiu
P	pevnosť
P_0	priemerná pevnosť vlákna o dĺžke l_0
σ [GPa]	napätie
A, B, C	parametre funkcie risku Weibullového rozdelenia
A, B, A_1	parametre funkcie risku Kiesovho modelu
p, A, B	parametre funkcie risku Gumbellového modelu
MLE	metóda maximálnej vieroohodnosti
N, Q, C	parametre hustoty pravdepodobnosti W. rozdelenia
p_1, p_2, p_3	parametre hustoty pravdepodobnosti nelineárnej regresie Weibullového rozdelenia
$C(V, \sigma)$	pravdepodobnosť, že nedôjde k porušeniu vlákna v objeme V
$C(\Delta V, \sigma)$	pravdepodobnosť, že nedôjde k porušeniu vlákna v objeme ΔV
P_i	poradová pravdepodobnosť

Použitá literatúra:

- [1] Jambrich M. a kol. - Fyzika vlákien, Nakladatel'stvo Alfa Bratislava 1988
- [2] Messner B., Zilvar V. - Fyzika polymerov, SNTL Praha 1987
- [3] Košková B. - Struktura a vlastnosti vlákien, Skriptum VŠST Liberec 1989
- [4] Černý J. - Teória spoľahlivosti a riadenie akostí, Skriptum VŠST Liberec 1987
- [5] Militký J. - Textilné vlákna, Skriptum TU Liberec 1995
- [6] Meloun M., Militký J. - Štatistické spracovanie experimentálnych dát, PLUS Praha 1994
- [7] Militký J. - Unified approach to description of inorganic fibres strength distribution, TRJ 1996
- [8] Fabián V. - Základné štatistické metódy, NČSAV, Praha 1963
- [9] Militký J. - nepublikované práce
- [10] informačné prospeky firmy Du Pont
- [11] Cibochová M. - Distribúcia pevnosti čadičových vlákien, diplomová práca, Liberec 1996